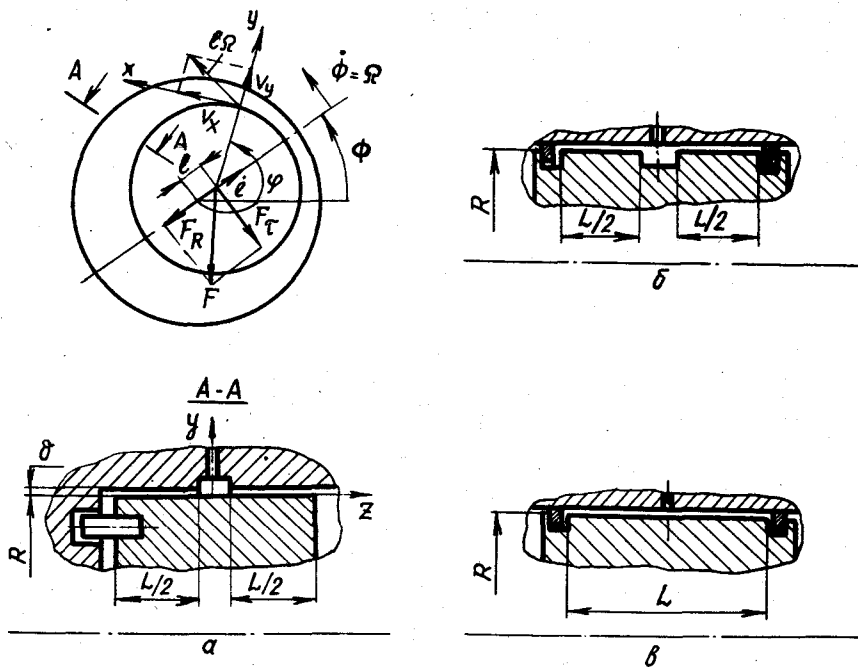


ВЫБОР ОПРЕДЕЛЯЕМЫХ И ОПРЕДЕЛЯЮЩИХ ПАРАМЕТРОВ  
ГИДРОДИНАМИЧЕСКИХ ДЕМПФЕРОВ  
ГАЗОТУРБИНЫХ ДВИГАТЕЛЕЙ

Гидродинамические демпферы (ГДД) нашли широкое применение в опорах роторов авиационных ГТД. Использование их позволяет решать вопросы повышения эффективности современных двигателей. Наибольшее распространение в двигателестроении получили короткие (проточные и непро- точные) и длинные ГДД (рис. 1).



Р и с. 1. Схема гидродинамического демпфера и принятая система координат: а - короткий проточный ГДД; б - короткий непро- точный ГДД; в - длинный ГДД

Условия работы гидродинамических демпферов ГДД таковы, что в демпферном зазоре могут иметь место турбулизация и кавитация смазки. Кроме того, большое значение приобретают инерционные силы, возникающие в демпфирующем слое. Это подтверждается теоретическими и экспериментальными исследованиями как у нас в стране, так и за рубежом [1-3]. Существующие методики расчета ГДД в одних случаях достаточно сложны, а в других не учитывают указанных особенностей работы ГДД в комплексе.

Для того чтобы полученные закономерности можно было распространить на все устройства данного типа и подобные процессы, происходящие в них, исследования необходимо проводить в безразмерных параметрах, полученных на основании теории размерностей и подобия [4]. Это, в свою очередь, позволит уменьшить число величин, которые необходимо связывать функциональной зависимостью, а следовательно, и упростить ее. Действительно, согласно  $\Pi$ -теореме, вместо  $N$  независимых величин, характеризующих работу устройства, получим  $N-Z$  безразмерных критериев подобия, где  $Z$  - число размерностей независимых величин.

Гидродинамический демпфер как устройство характеризуется следующими четырьмя геометрическими параметрами: радиусом  $R$ , длиной  $L$ , демпферным зазором  $\delta$ , эксцентриситетом  $e$ . Состояние рабочей жидкости в демпферном зазоре может быть описано тремя параметрами - динамической вязкостью  $\mu$ , плотностью  $\rho$  и давлением подачи  $p_K$ . Динамическое поведение демпфера оценивается еще тремя характеристиками - скоростью прецессии  $\Omega$ , динамическим давлением смазки  $p$  и гидродинамической силой  $F$ . Таким образом, ГДД как динамическую систему характеризуют десять независимых размерных величин. Первые восемь ( $R, L, \delta, e, \mu, \rho, p_K$  и  $\Omega$ ) являются определяющими величинами, а две последние ( $p$  и  $F$ ) - определяемыми.

Определяемые величины являются функцией определяющих:

$$p, F = f(R, L, \delta, e, \mu, \rho, p_K, \Omega).$$

Найдем безразмерные критерии подобия для гидродинамического демпфера. Имеющиеся  $N = 10$  величин  $n_1, n_2, n_3, \dots, n_N$ , характеризующих устройство и его работу, дают  $N-Z = 7$  критериев подобия

$$\Pi = K [n_1]^{x_1} \dots [n_N]^{x_N},$$

где  $K$  - числовая константа.

Размерность величины  $n_i$  представим в виде

$$[n_i] = [L]^{A_i} [M]^{B_i} [T]^{C_i}.$$

Здесь  $[L]$  - размерность длины, м;  $[M]$  - размерность массы, кг;

$[T]$  - размерность времени, с.

Числа  $x_1, x_2, \dots, x_N$  должны быть такими, чтобы размерность  $\Pi$  равнялась нулю. Их находят путем решения системы уравнений

$$\left. \begin{aligned} A_1 x_1 + A_2 x_2 + \dots + A_N x_N &= 0; \\ B_1 x_1 + B_2 x_2 + \dots + B_N x_N &= 0; \\ C_1 x_1 + C_2 x_2 + \dots + C_N x_N &= 0. \end{aligned} \right\} \quad (I)$$

Система (I) имеет  $N-z$  линейно независимых решений. Каждое решение, состоящее из  $N$  значений  $x_i$ , дает один критерий подобия. Подставим степени размерностей  $A_i, B_i, C_i$  для каждой величины  $n_i$  (в нашем случае  $n_1 = R, n_2 = L, n_3 = \delta, n_4 = e, n_5 = \mu, n_6 = \rho, n_7 = \rho_K, n_8 = \Omega, n_9 = \rho, n_{10} = F$ ). Тогда система уравнений (I) примет вид

$$\left. \begin{aligned} x_1 + x_2 + x_3 + x_4 - x_5 - 5x_6 - x_7 - x_9 + x_{10} &= 0; \\ x_5 + x_6 + x_7 + x_9 + x_{10} &= 0; \\ -x_5 - x_6 - 2x_7 - x_8 - 2x_9 - 2x_{10} &= 0. \end{aligned} \right\} \quad (2)$$

Система (2) имеет  $N-z = 7$  линейно независимых решений. При решении системы (2) семь величин  $n_i$  задаются произвольно, остальные три находятся из (2) такие, что критерий  $\Pi$  является безразмерной величиной.

Примем  $x_2 = 1; x_3 = x_4 = x_5 = x_6 = x_7 = x_8 = 0$ , тогда из (2) получим  $x_1 = -1; x_9 = x_{10} = 0$ .

Из первого решения, приняв  $K = 1, 0$ , получим критерий

$$\Pi_1 = K n_1^{x_1} n_2^{x_2} n_3^{x_3} n_4^{x_4} n_5^{x_5} n_6^{x_6} n_7^{x_7} n_8^{x_8} n_9^{x_9} n_{10}^{x_{10}} = \bar{n}_1^{-1} n_2^1 = \bar{R} L.$$

Обозначим этот критерий  $\lambda = L/R$  и назовем его безразмерной длиной демпфера.

Аналогично для второго решения, приняв  $x_3 = 1, x_2 = x_4 = x_5 = x_6 = x_7 = x_8 = 0, K = 1, 0$ , получим  $\Pi_2 = \bar{n}_1^{-1} n_3^1 = \bar{R}^{-1} \delta$ . Обозначим

второй критерий  $\psi = \delta/R$  и назовем его безразмерным демпферным зазором.

Для третьего решения, положив  $x_4 = 1, x_1 = x_2 = x_5 = x_6 = x_7 = x_8 = 0, \kappa = 1, 0$ , получим

$$\Pi_3 = n_4 n_3^{-1} = e \delta^{-1}.$$

Обозначим третий критерий  $\varepsilon = e/\delta$  и назовем его относительным эксцентриситетом.

Для четвертого решения, приняв  $x_7 = 1, x_5 = -1, x_2 = x_4 = x_6 = x_8 = x_{10} = 0$  и (для удобства вычислений)  $\kappa = \frac{1}{12}$ , получим

$$\Pi_4 = \frac{1}{12} n_1^{-2} n_3^2 n_5^{-1} n_7 n_8^{-1} = \frac{1}{12} R^{-2} \sigma^2 \mu^{-1} \rho \kappa \Omega^{-1}.$$

Обозначим четвертый критерий  $\rho_\kappa = \frac{\sigma^2 \rho \kappa}{12 \mu \Omega R^2}$  и назовем его безразмерным давлением подачи смазки.

Для пятого решения, положив  $x_8 = 1, x_1 = x_2 = x_4 = x_7 = x_9 = x_{10} = 0, \kappa = 1, 0$ , найдем

$$\Pi_5 = n_3^2 n_5^{-1} n_6 n_8 = \sigma^2 \mu^{-1} \rho \Omega.$$

Обозначим пятый критерий  $\sigma = \sigma^2 \rho \Omega / \mu$  и назовем его параметром инерции.

Для шестого решения, приняв  $x_9 = 1, x_5 = -1, x_2 = x_4 = x_6 = x_7 = x_{10} = 0, \kappa = \frac{1}{12}$ , получим

$$\Pi_6 = \frac{1}{12} n_1^{-2} n_3^2 n_5^{-1} n_8^{-1} n_9 = \frac{1}{12} R^{-2} \sigma^2 \mu^{-1} \Omega^{-1} \rho.$$

Обозначим шестой критерий  $\rho = \frac{\sigma^2 \rho}{12 \mu \Omega R^2}$  и назовем его безразмерным динамическим давлением.

Для последнего решения, приняв  $x_{10} = 1, x_5 = -1, x_2 = -1, x_4 = x_6 = x_7 = x_9 = 0, \kappa = \frac{1}{12}$ , определим

$$\Pi_7 = \frac{1}{12} n_1^{-3} n_2^{-1} n_3^2 n_5^{-1} n_8^{-1} n_{10} = \frac{1}{12} R^{-3} L^{-1} \sigma^2 \mu^{-1} \Omega^{-1} F.$$

Обозначим седьмой критерий  $\bar{F} = \frac{\sigma^2 F}{12 \mu \Omega R^3 L}$  и назовем его безразмерной гидродинамической силой.

В дальнейшем безразмерные критерии подобия будем называть безразмерными параметрами. Определяемыми параметрами в демпфере явля-

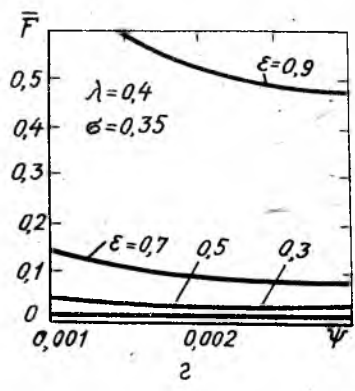
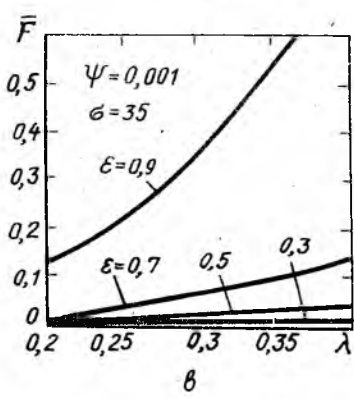
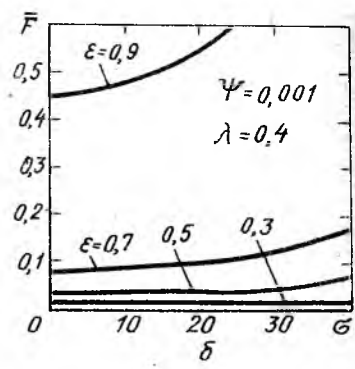
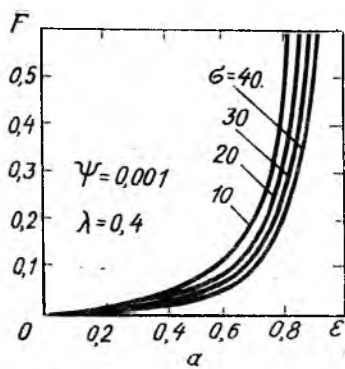
ются безразмерное динамическое давление  $\rho$  и безразмерная гидродинамическая сила  $\bar{F}$ . Остальные пять безразмерных параметров  $\lambda, \psi, \varepsilon, \rho_K$  и  $\sigma$  — определяющие. Для изучения процессов, происходящих в демпферном зазоре, необходимо найти зависимости определяемых параметров  $\rho$  и  $\bar{F}$  от определяющих. Исследования желательнее проводить во всем диапазоне изменения всех определяющих параметров. Однако в зависимости от конструктивных особенностей ГДД и условий их работы определяющие параметры в различной степени влияют на динамические характеристики. Поэтому необходимо выявить параметры, оказывающие наиболее сильное влияние на эти характеристики. Например, параметр  $\lambda$  не влияет на безразмерное динамическое давление  $\rho$  в длинном ГДД, так как течением смазки в осевом направлении пренебрегают. В этом случае безразмерную длину демпфера можно рекомендовать принимать равной  $\lambda = 4$  [1], что характеризует течение лишь в окружном направлении. Давление подачи  $\rho_K$  не влияет на гидродинамическую силу при полном охвате вибратора смазкой.

Найдем пределы изменения определяющих параметров в демпферах роторов ГТД. В реальных опорах величины, характеризующие демпфер и его работу, принимают значения  $R = 70 \dots 120$  мм;  $\angle = 20 \dots 40$  мм;  $\delta = 0,1 \dots 0,3$  мм;  $\mu = 1 \cdot 10^{-3} \dots 5 \cdot 10^{-3}$  Н·с/м<sup>2</sup>;  $\rho = 720 \dots 750$  кг/м<sup>3</sup>;  $\rho_K = 0 \dots 0,5$  МПа;  $\Omega = 0 \dots 2000$  с<sup>-1</sup>, что соответствует практическим значениям безразмерных параметров в пределах  $\lambda = 0,2 \dots 0,4$ ;  $\psi = 0,001 \dots 0,003$ ;  $\sigma = 0 \dots 40$ . Относительный эксцентриситет теоретически может изменяться от 0 до 1, однако значения параметра  $\varepsilon > 0,7$  реализуется крайне редко, а при  $\varepsilon > 0,9$  происходит касание вибратора о статор, так как рабочий демпферный зазор становится соизмеримым с допусками на диаметральные размеры демпфера.

Таким образом,  $\varepsilon = 0 \dots 0,9$ . Параметр  $\rho_K$  теоретически может изменяться от 0 до  $\infty$ , однако реально  $\rho_K = 0 \dots 1$ .

Эти пределы изменения определяющих параметров необходимо использовать при анализе влияния различных факторов на динамические характеристики ГДД.

Для удобства анализа в ряде задач вместо одного из определяющих безразмерных параметров можно использовать комплекс из безразмерных критериев, включающий отбрасываемый параметр. Например, при исследовании влияния турбулизации смазки [2] вместо безразмерной длины  $\lambda$



Р и с. 2. Зависимости безразмерной гидродинамической силы  $\bar{F}$  от безразмерных параметров  $\epsilon; \sigma; \lambda; \psi$

используют параметр  $Re = \sigma \epsilon a / \psi$ . Для ГДД авиационных ГТД пределы изменения параметра  $Re$  составляют 0...15000.

Влияние процессов, происходящих в демпферном зазоре, на динамическое поведение ГДД удобно оценивать по распределению динамического давления, так как оно является дифференциальной характеристикой, исходной для определения интегральных динамических параметров. В этом случае, как показано в [3], значительно упрощается экспериментальная проверка полученных теоретических закономерностей. При проектировании же ГДД для опор роторов определяемым параметром является гидродинамическая сила, которая оказывает влияние на амплитудно-частотную характеристику роторной системы. Гидродинамическая сила  $F$  может быть представлена в виде двух взаимно перпендикулярных составляющих  $F_T$  и  $F_R$  (рис. 1).

Аналитические выражения для безразмерных определяемых параметров  $P$  и  $\bar{F}$  были получены в работе [5] для случая полного охвата короткого непроточного ГДД смазкой с учетом ее турбулизации. Функциональные зависимости безразмерной гидродинамической силы от определяющих параметров для этого случая приведены на рис. 2. Из графиков видно, что наибольшее влияние на безразмерную силу  $\bar{F}$  оказывает безразмерный эксцентриситет  $\epsilon$ . Полученные зависимости значительно облегчают проектирование ГДД, позволяя целенаправленно выбирать их параметры.

#### Библиографический список

1. Сергеев С.И. Демпфирование механических колебаний. - М.: Физматгиз, 1959. - 408 с.
2. Nelson C.C. *The effect of turbulence and fluid inertia in a squeeze film bearing demper.* - AIAA Rep. - 1980. - 1262 p.
3. Белоусов А.И., Балякин В.Б., Новиков Д.К. Экспериментальное исследование распределения давления в слое смазки короткого гидродинамического демфера // Трение и износ. - 1985. - Т. VI, № 4. - С. 648-652.
4. Алабужев П.М., Минкевич Л.М. Основы теории подобия и моделирования. - Новосибирск: Изд-во СО АН СССР, 1966. - 83 с.
5. Белоусов А.И., Балякин В.Б. Линеаризованная теория короткого гидродинамического демфера с полным охватом / Куйбыш. авиац. ин-т. Куйбышев, 1985. - 17 с. - Деп. в ВИНТИ 25.03.1985, № 2076.